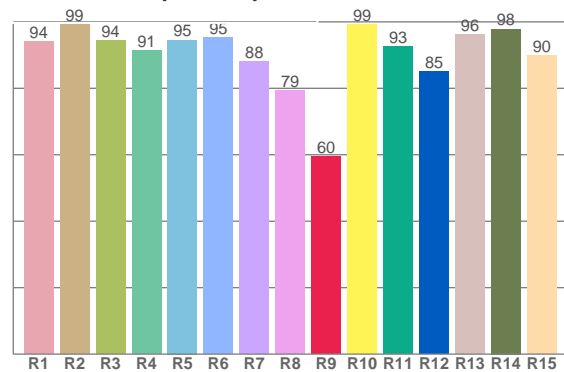


CRI: 92,1 (R1-R8)



CRI R-Werte, nur R1-R8 werden zur Berechnung des endgültigen CRI-Wertes verwendet

| R1 | R2 | R3 | R4 | R5 | R6 | R7 | R8 | R9 | R10 | R11 | R12 | R13 | R14 | R15 |
|------|------|------|------|------|------|------|------|------|------|------|------|------|------|------|
| 94,1 | 99,2 | 94,5 | 91,3 | 94,6 | 95,3 | 88,2 | 79,4 | 59,5 | 99,2 | 92,6 | 85,0 | 96,1 | 97,8 | 89,8 |

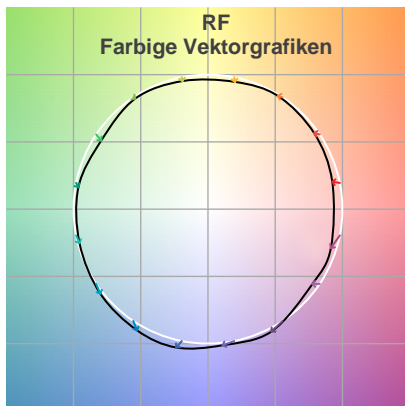
TM30 C-Werte, 16 eingelagerte Werte von insgesamt 99 C-Werten

| C1 | C2 | C3 | C4 | C5 | C6 | C7 | C8 | C9 | C10 | C11 | C12 | C13 | C14 | C15 | C16 |
|------|------|------|------|------|------|------|------|------|------|------|------|------|------|------|------|
| 88,9 | 91,6 | 92,4 | 93,1 | 95,0 | 94,8 | 90,4 | 94,0 | 89,6 | 88,4 | 90,2 | 89,7 | 88,4 | 86,2 | 89,6 | 84,3 |

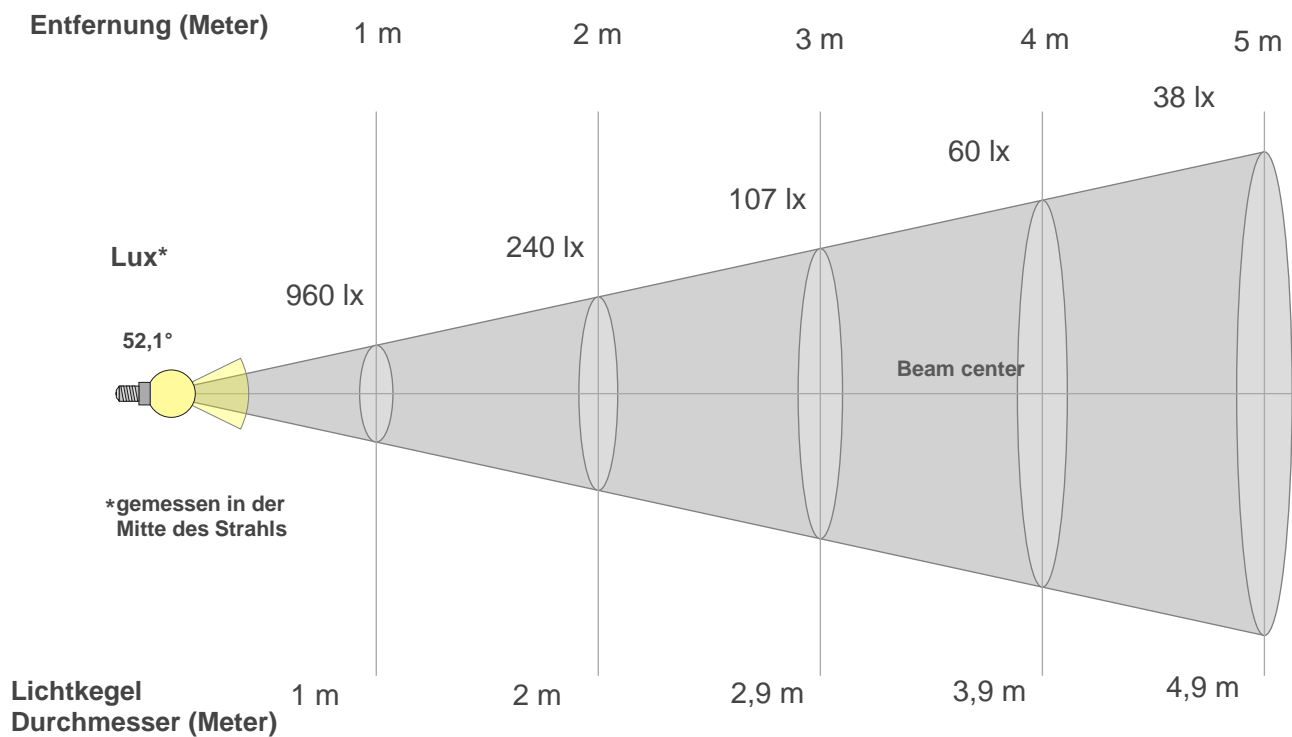
Farbparameter

| Farbtemperatur CCT | CRI-Wert rendering CRI | Rotanteil R9 CRI R9 | Farbtreue TM30 Rf | Farbbereich TM30 Rg |
|-----------------------|---------------------------|------------------------|----------------------|------------------------|
| 2771 K | 92,1 | 59,5 | 90,6 | 97,1 |

TM30 Details



Lichtstrahl Details



Strahlintensitäten von 1-20m

| 1m | 2m | 3m | 4m | 5m | 6m | 7m | 8m | 9m | 10m | 3,3m | 6,6m | 9,8m | 13,1m | 16,4m | 19,7m | 23m | 26,2m | 29,5m | 32,8m |
|-------|-------|-------|------|------|------|------|------|------|------|--------|--------|-------|-------|-------|-------|-------|-------|-------|-------|
| 960lx | 240lx | 107lx | 60lx | 38lx | 27lx | 20lx | 15lx | 12lx | 10lx | 89,1lx | 22,3lx | 9,9lx | 5,6lx | 3,6lx | 2,5lx | 1,8lx | 1,4lx | 1,1lx | 0,9lx |

Blendungsbewertung nach UGR

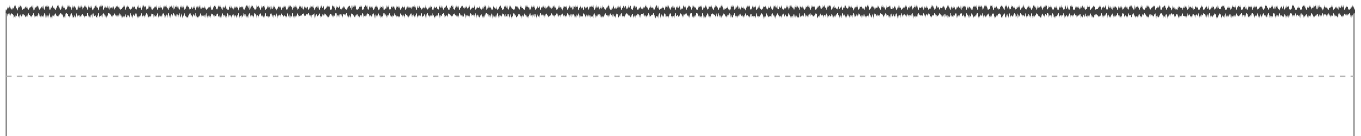
| | | | | | | | | | | | |
|--|-----|---|------|------|------|------|---|------|------|------|------|
| p Decke | | 70 | 70 | 50 | 50 | 30 | 70 | 70 | 50 | 50 | 30 |
| p Wand | | 50 | 30 | 50 | 30 | 30 | 50 | 30 | 50 | 30 | 30 |
| p Boden | | 20 | 20 | 20 | 20 | 20 | 20 | 20 | 20 | 20 | 20 |
| Raumgrößen X Y | | Blickrichtung rechtwinklig zur Lampenachse | | | | | Blickrichtung parallel zur Lampenachse | | | | |
| 2H | 2H | 17,0 | 17,7 | 17,1 | 17,9 | 18,1 | 17,0 | 17,7 | 17,1 | 17,9 | 18,1 |
| | 3H | 16,7 | 17,5 | 17,1 | 17,7 | 17,9 | 16,7 | 17,5 | 17,1 | 17,7 | 17,9 |
| | 4H | 16,6 | 17,4 | 17,0 | 17,6 | 17,8 | 16,6 | 17,4 | 17,0 | 17,6 | 17,8 |
| | 6H | 16,7 | 17,3 | 16,9 | 17,5 | 17,9 | 16,7 | 17,3 | 16,9 | 17,5 | 17,9 |
| | 8H | 16,6 | 17,2 | 16,9 | 17,5 | 17,9 | 16,6 | 17,2 | 16,9 | 17,5 | 17,9 |
| | 12H | 16,6 | 17,1 | 16,9 | 17,5 | 17,9 | 16,6 | 17,1 | 16,9 | 17,5 | 17,9 |
| 4H | 2H | 16,7 | 17,4 | 17,1 | 17,6 | 17,9 | 16,7 | 17,4 | 17,1 | 17,6 | 17,9 |
| | 3H | 16,6 | 17,1 | 16,9 | 17,5 | 17,9 | 16,6 | 17,1 | 16,9 | 17,5 | 17,9 |
| | 4H | 16,4 | 17,0 | 16,9 | 17,4 | 17,9 | 16,4 | 17,0 | 16,9 | 17,4 | 17,9 |
| | 6H | 16,4 | 16,9 | 16,9 | 17,3 | 17,6 | 16,4 | 16,9 | 16,9 | 17,3 | 17,6 |
| | 8H | 16,3 | 16,8 | 16,8 | 17,2 | 17,5 | 16,3 | 16,8 | 16,8 | 17,2 | 17,5 |
| | 12H | 16,3 | 16,7 | 16,8 | 17,1 | 17,5 | 16,3 | 16,7 | 16,8 | 17,1 | 17,5 |
| 8H | 4H | 16,3 | 16,8 | 16,8 | 17,2 | 17,5 | 16,3 | 16,8 | 16,8 | 17,2 | 17,5 |
| | 6H | 16,3 | 16,6 | 16,8 | 17,1 | 17,6 | 16,3 | 16,6 | 16,8 | 17,1 | 17,6 |
| | 8H | 16,3 | 16,5 | 16,8 | 17,1 | 17,7 | 16,3 | 16,5 | 16,8 | 17,1 | 17,7 |
| | 12H | 16,2 | 16,5 | 16,8 | 17,0 | 17,6 | 16,2 | 16,5 | 16,8 | 17,0 | 17,6 |
| 12H | 4H | 16,2 | 16,6 | 16,7 | 17,1 | 17,5 | 16,2 | 16,6 | 16,7 | 17,1 | 17,5 |
| | 6H | 16,3 | 16,5 | 16,8 | 17,0 | 17,7 | 16,3 | 16,5 | 16,8 | 17,0 | 17,7 |
| | 8H | 16,2 | 16,4 | 16,8 | 17,0 | 17,6 | 16,2 | 16,4 | 16,8 | 17,0 | 17,6 |
| Variation der Beobachterposition für den Leuchtenabstand S | | | | | | | | | | | |
| S = 1.0H | | 4,4 / -6,3 | | | | | 4,4 / -6,3 | | | | |
| S = 1.5H | | 7,0 / -9,8 | | | | | 7,0 / -9,8 | | | | |
| S = 2.0H | | 8,9 / -11,6 | | | | | 8,9 / -11,6 | | | | |
| Standard-Tabelle | | n/a | | | | | n/a | | | | |
| Korrektur Zusammenfassung | | n/a | | | | | n/a | | | | |
| Korrigierte Blendungsindizes bezogen auf 735 lm Gesamtlichtstrom | | | | | | | | | | | |

| Measurement Details | |
|---------------------|------------------------|
| Messzeitpunkt | 03.03.2023 10:49:55 |
| Betreiber | EVN Lichttechnik |

| Laboratory and Equipment | | |
|-------------------------------|------------------|-------------------------|
| Laboreigentümer und Standort | EVN Lichttechnik | Winkelhaid, Deutschland |
| Flickermeter Art | Viso Systems | LabFlicker |
| Frequenz der Eingangsleistung | 0 Hz | |

| Flicker Details | | |
|---|---------------------|---|
| Flicker-Abtastrate | 20000 Abtastungen/s | |
| Flicker Kennwerte gemäß der Illuminating Engineering Society (IES) | Flicker Frequenz | 100,5 Hz |
| | Flickeranteil in % | 1,41 % |
| | Flicker Index | 0 |
| Flicker Kennwerte gemäß der Kalifornische Energiekommission, JA 8/10 Prozentsatz Amplitudenmodulation | Ungefiltert | 1,41 % |
| | mit 40-Hz-Grenze | 0,01 % |
| | mit 90-Hz-Grenze | 0,03 % |
| | mit 200-Hz-Grenze | 0,19 % |
| | mit 400-Hz-Grenze | 0,22 % |
| | mit 1000-Hz-Grenze | 0,41 % |
| Flickerindex nach ASSIST | Mp 0,01 | Konformität mit der EU-Ökodesign-Richtlinie |

| Flickerkurve (vollständig ausgewertetes Flickersignal) | | |
|--|--------------------|---|
| TLA-Kennwerte gemäß IEC TR 61547-1, IEC 61000-3-3 und IEC 61000-4-15 | Flicker PstLM Wert | 0,01 |
| | Flicker SVM Wert | 0,01 |
| | | Yes - PstLM \leq 1,0 Yes - SVM $<$ 0,4 |



| Flicker Frame (Bild einer Flickerperiode im Zeitbereich) | Flicker FFT (Flickerkurve im Frequenzbereich) |
|--|---|
|--|---|

